

10A G.O.

۸۷/۱۱/۰۷۰۳۵
۸۷/۱۲/۱۱



دانشکده مهندسی

پایان نامه کارشناسی ارشد در رشته مهندسی مکانیک (تبدیل انرژی)

بررسی عددی عملکرد نازل با شکلهای مختلف برای ایمپاکتورهای مافوق صوت به منظور جدا سازی ذرات نانو

توسط:

سعیده سعدآبادی

استیضد راهنمای:

دکتر امید ابوعلی

دکتر همایون امداد

۸۷/۱۱/۱۲

بخش اطلاعات مرکز مخابرات
تست لیک

شهریور ماه ۱۳۸۷

به نام خدا

بررسی عددی عملکرد نازل با شکلهای مختلف برای ایمپاکتورهای مافوق صوت به
منظور جداسازی ذرات نانو

به وسیله‌ی:

سعیده سعدآبادی

پایان نامه

ارائه شده به معاونت تحصیلات تکمیلی دانشگاه به عنوان بخشی از
فعالیت‌های تحصیلی لازم برای اخذ درجه کارشناسی ارشد

در رشته‌ی:

مهندسی مکانیک - تبدیل انرژی

از دانشگاه شیراز

شیراز

جمهوری اسلامی ایران

ارزیابی شده توسط کمیته پایان نامه با درجه: عالی

دکتر امید ابوعلی، استادیار بخش مهندسی مکانیک (رئيس کمیته)

دکتر همایون امداد، استادیار بخش مهندسی مکانیک (رئيس کمیته)

دکتر رضا کمالی، استادیار بخش مهندسی مکانیک

دکتر ابراهیم گشتاسبی راد، استادیار بخش مهندسی مکانیک

با تشکر از خداوند متعال،
این اوراق ناقابل را به پدر و مادر مهربانم تقدیم می‌کنم.

سپاسگزاری

در پایان این مسیر پر فراز و نشیب، که کوله باری از تجربه های گران بها را برایم به ارمغان آورده است، از اساتید بزرگوارم جناب آقای دکتر امید ابوعلی و جناب آقای دکتر همایون امداد که در طول این مدت از حمایت های بی دریغ شان برخوردار بوده ام کمال تشکر را دارم. همچنین از اساتید محترم جناب آقای دکتر رضا کمالی و جناب آقای دکتر ابراهیم گشتاسبی را د به خاطر راهنمایی های ارزنده شان سپاسگزارم.

در نهایت از تمامی دوستان و کلیه کادر بخش مهندسی مکانیک دانشگاه شیراز که با اینجانب همکاری صادقانه داشتنند، تشکر می نمایم.

چکیده

بررسی عددی عملکرد نازل با شکلهای مختلف برای ایمپاکتورهای مافوق صوت به منظور جداسازی ذرات نانو

به وسیله‌ی:

سعیده سعدآبادی

در این تحقیق عملکرد ایمپاکتورهای مافوق صوت به عنوان دستگاه جداکننده ذرات نانو به صورت عددی مورد مطالعه قرار گرفته است. میدان جریان در درون ایمپاکتور مافوق صوت با فرض جریان متقاضن محوری بررسی شده است و برای این منظور معادلات ناویراستوکس و انرژی به فرم تراکم پذیر آن برای جریان آرام و لزج حل شده است. معادلات حرکت ذره از دیدگاه لاغرانژین حل شده اند. به منظور بررسی دقیق نتایج عددی میدان جریان و نمودار بازده جذب ایمپاکتور حاصل از نتایج عددی با نتایج تجربی موجود مقایسه شده است که دقیق قابل قبولی مشاهده شده است.

نتایج شبیه سازی نشان می‌دهد که میدان جریان ایمپاکتورهای مافوق صوت برای فواصل کوچکتر از $0.3D_e \sqrt{P_0/P_b}$ مستقل از نسبت فشار کارکرد ایمپاکتور است که در آن D_e قطر نازل، P_0 فشار بالادست نازل و P_b فشار پایین دست نازل است. در محدوده $L/D_e < 0.25 \sqrt{P_0/P_b}$ قطر جدایش ایمپاکتور با افزایش نسبت L/D_e مستقل از نسبت فشار ایمپاکتور کاهش می‌یابد.

با محاسبه دقیق نیروهای پسا و براونی وارد بر ذرات منحنی بازده جذب و قطر جدایش ایمپاکتور محاسبه شده است. پارامتر حاکم بر فرآیند جذب، عدد استوکس ذرات می‌باشد که بر حسب مشخصات جریان در نقطه سکون روی صفحه ایمپاکتور محاسبه شده و رابطه جدیدی برای عدد استوکس $1/50$ (که در آن بازده جمع آوری ایمپاکتور 50% است) در ایمپاکتورهای مافوق صوت ارائه شده است.

همچنین شکلهای مختلف نازل برای ایمپاکتورهای مافوق صوت به منظور جذب ذرات نانو مقایسه شده است. نتایج نشان می‌دهد که تغییر در هندسه نازلهای همگرا اثری روی کاهش قطر جدایش ایمپاکتور ندارد. استفاده از نازل لاوال مخروطی برای ایمپاکتور با نسبت $2 \leq L/D_e \leq 4$ باعث کاهش قطر جدایش ایمپاکتور می‌شود. اضافه کردن یک صفحه قبل از اریفیس، به طور قابل توجهی قطر جدایش ایمپاکتور را کاهش می‌دهد، و البته اگر مجموعه صفحه و اریفیس به صورت مخروطی باشد، کاهش قطر جدایش ایمپاکتور بیشتر خواهد بود.

فهرست مطالب

صفحه	عنوان
۱	-۱- مقدمه و مروری بر پژوهش‌های پیشین
۲	۱-۱- مقدمه
۴	۲-۱- پژوهش‌های پیشین
۸	۳-۱- اهداف این پژوهش
۱۰	۲-۲- معادلات حاکم و روش حل آنها
۱۱	۱-۱- معادلات حاکم بر جریان سیال
۱۲	۲-۲- معادله حرکت ذره
۱۳	۱-۲-۱- نیروی پسا
۱۵	۲-۲-۲- ضریب تصحیح کانینگهام
۱۷	۳-۲-۲- حرکت براونی
۱۹	۳-۳-۲- روش حل معادلات حاکم و تشریح کد کامپیوتربی
۱۹	۱-۳-۲- شرح مراحل انجام کار
۲۰	۲-۳-۲- نحوه حل معادلات میدان جریان
۲۰	۳-۳-۲- روش حل معادله حرکت ذره بصورت عددی
۲۲	۳- شرح مدل
۲۳	۱-۳- ایمپاکتور با نازل اریفیس نازک
۲۴	۲-۳- نازل اریفیس ضخیم
۲۴	۳-۳- نازل مخروطی همگرا
۲۵	۴-۳- نازل لوال
۲۵	۱-۴-۳- نازل لوال مخروطی
۲۶	۲-۴-۳- نازل لوال ایده آل
۲۷	۵-۳- نازل اریفیس نازک همراه با cap
۲۷	۱-۵-۳- نازل همراه با cap صفحه ای
۲۸	۲-۵-۳- نازل همراه با cap مخروطی
۲۹	۴- فصل چهارم تئوری جت
۳۰	۱-۴- مقدمه
۳۰	۲-۴- جت آزاد

عنوان

صفحه

۳۸	۱-۲-۴- ویژگی های جت آزاد مافوق صوت
۳۹	۳-۴- جدایی در جریان مافوق صوت
۴۱	۴-۴- جت برخورده
۴۴	۵-۴- مکان شاک
۴۵	۶-۴- عدد نادسون جریان
۴۶	۵- نتایج
۴۷	۱-۵- مقدمه
۴۷	۲-۵- مقایسه نتایج عددی با مدل های تجربی موجود
۵۰	۳-۵- بررسی ایمپاکتور های مافوق صوت با نازل اریفیس نازک
۵۰	۱-۳-۵- نتایج میدان جریان
۵۶	۲-۳-۵- حرکت ذرات در ایمپاکتور مافوق صوت
۵۹	۳-۳-۵- عدد استوکس
۶۳	۴-۵- مطالعه اثر هندسه نازل
۶۳	۱-۴-۵- نتایج میدان جریان
۷۷	۲-۴-۵- نتایج مریوط به جداسازی ذرات
۹۰	۵-۵- نتیجه گیری
۹۲	پیوست ۱
۹۳	Foelsch-۱- روش
۹۳	۲-۱- تحلیل جریان در ناحیه ۱
۹۴	۳-۱- تحلیل جریان در ناحیه ۲
۹۴	۴-۱- متد تقریبی Foelsch
۹۸	۵-۱- حل عددی
۹۹	منابع

فهرست جداول

عنوان	صفحة
جدول ۱-۲- تغییرات ضریب تصحیح کائینگهام بر حسب قطر ذره در $\lambda = 70 \text{ nm}$	۱۶

فهرست شکل‌ها

صفحه	عنوان
۳	شکل ۱-۱- نمای عرضی یک ایمپاکتور (هیندنز ۱۹۹۹)
۳	شکل ۱-۲- شماتیکی از ایمپاکتورهای مافوق صوت
۴	شکل ۱-۳- نمودار بازده جذب ایده آل و واقعی یک ایمپاکتور (رایدر و ماربل ۱۹۸۵).
۶	شکل ۱-۴- شماتی از ایمپاکتوری که دلامورا و همکاران (۱۹۹۰ الف) در آزمایش‌های خود استفاده کردند.
۷	شکل ۱-۵- شماتی از ایمپاکتوری که کاناوکا و همکاران (۲۰۰۱) در آزمایش‌های خود استفاده کردند.
۱۳	شکل ۱-۶- تغییرات ضریب پسا بر حسب رینولدز برای یک ذره کروی (احمدی ۲۰۰۶).
۱۴	شکل ۱-۷- پیش‌بینی مدل‌های مختلف برای ضریب پسا برای یک ذره کروی (احمدی ۲۰۰۶).
۱۵	شکل ۱-۸- جدایش لایه مرزی آرام و آشته (احمدی ۲۰۰۶).
۱۶	شکل ۱-۹- تغییرات ضریب تصحیح کانینگهام بر حسب عدد نادسن (احمدی ۲۰۰۶).
۱۷	شکل ۱-۱۰- شماتی از حرکت براونی (احمدی ۲۰۰۶).
۱۹	شکل ۱-۱۱- قسمتی از شبکه استفاده شده در مدل سازی ایمپاکتور با اریفیس نازک با $L/D = 2$
۲۳	شکل ۱-۱۲- نمای متقارن محوری ایمپاکتور با اریفیس نازک
۲۴	شکل ۱-۱۳- شماتی از نازلهای مخروطی و استوانه ای همگرای مدل‌سازی شده
۲۵	شکل ۱-۱۴- شماتی (الف) نازل لاوال مخروطی (ب) نازل لاوال ایده آل
۲۶	شکل ۱-۱۵- نازل لاوال طراحی شده به روش مشخصه‌ها
۲۷	شکل ۱-۱۶- متمرکز‌کننده مدل‌سازی شده در تحقیقات تفرشی و همکاران (۲۰۰۲) الف) سطح مقطع نازل همراه با cap (ب) نمای کلی نازل همراه با cap (ج) نحوه متمرکز سازی ذرات با سایز‌های مختلف در متمرکز‌کننده.
۲۸	شکل ۱-۱۷- شماتی از نازلهای همراه با cap بررسی شده در این تحقیق (الف) نازل همراه با cap صفحه‌ای (ب) نازل همراه با cap مخروطی
۳۱	شکل ۱-۱۸- جریان خروجی از نازل همگرای (الف) جریان زیرصوتی (ب) جت تقریباً underexpanded (ج) جت به شدت underexpanded
۳۲	شکل ۱-۱۹- تصاویر جت خروجی از نازل همگرای (الف) جریان زیرصوتی (ب) جت تقریباً underexpanded (ج) جت به شدت underexpanded (دونالدسون و استندرکر ۱۹۷۱).
۳۴	شکل ۱-۲۰- مقایسه فشار در مرکز صفحه با فشار در خط مرکزی جت آزاد. — صفحه --- جت آزاد (دونالدسون و استندرکر ۱۹۷۱).

عنوان

صفحة

- شکل ۴-۴- رژیم های جریان در دسته بندی مونتز و همکاران (۱۹۷۰) از لحاظ rarefaction جریان
- شکل ۴-۵- تغییرات دانسیته متعامد جریان در محور جت برای ۳ مختلف، نسبت فشار $P_r = P_0/P_b$ و همکاران (۲۰۰۵).
- شکل ۴-۶- نازلهای مدلسازی شده در مطالعات آنوب و همکاران (۲۰۰۷).
- شکل ۴-۷- شکل مرز جت در نازلهای مختلف (آنوب و همکاران ۲۰۰۷).
- شکل ۴-۸- جدایی در جریان مافوق صوت (آستلنند و همکاران ۲۰۰۵).
- شکل ۴-۹- توزیع فشار استاتیک روی دیواره در هنگام جدایی (آستلنند و همکاران ۲۰۰۵).
- شکل ۴-۱۰- شکل کلی جت برخوردی (آلوي و همکاران ۲۰۰۲).
- شکل ۴-۱۱- توزیع فشار روی صفحه (آلوي و همکاران ۲۰۰۲).
- شکل ۴-۱۲- تصویر یک جت به شدت underexpanded در برخورد به صفحه (دونالدسون و اسندرکر ۱۹۷۱).
- شکل ۴-۱۳- شمای خطوط جریان روی سطح بر اساس مشاهدات دونالدسون و اسندرکر (۱۹۷۱).
- شکل ۴-۱۴- مقایسه نمودار بازده جذب متعامد ایمپاکتور با اریفیس نازک برای L/D_t های مختلف بدست آمده از شبیه سازی عددی با نتایج تجربی دلامورا و همکاران (۱۹۹۰) برای (الف) ایمپاکتور با نسبت فشار $P_0/P_b = 400$ برای ذرات $10/2$ نانومتر (ب) ایمپاکتور با نسبت فشار $P_0/P_b = 510$ برای ذرات $5/6$ نانومتر.
- شکل ۴-۱۵- جزئیات هندسه نازل B ایمپاکتور مدلسازی شده از مدل تجربی کاناوا کا و همکاران (۲۰۰۱).
- شکل ۴-۱۶- مقایسه توزیع فشار بدست آمده از حل عددی حاضر و نتایج تجربی روی دیواره نازل.
- شکل ۴-۱۷- مقایسه نمودار بازده جذب ایمپاکتور بدست آمده از شبیه سازی عددی با نتایج تجربی کاناوا کا و همکاران (۲۰۰۱).
- شکل ۴-۱۸- توزیع نسبت فشارسکون بالادست نازل به فشار روی مرکز صفحه ایمپاکتور بر حسب نسبت L/D_t برای نسبت فشار های مختلف ایمپاکتور.
- شکل ۴-۱۹- توزیع فشار روی صفحه ایمپاکتور با اریفیس نازک برای نسبت L/D_t های کوچک.
- شکل ۴-۲۰- تغییرات U/C_0 بر حسب نسبت L/D_t برای ایمپاکتور با نسبت فشارها و قطر نازلهای مختلف.
- شکل ۴-۲۱- تغییرات L/δ بر حسب نسبت L/D_t برای ایمپاکتور با نسبت فشارها و قطر نازلهای مختلف.
- شکل ۴-۲۲- تغییرات L/δ برای L/D_t های کوچک برای گازهای هوا و هیدروژن.
- شکل ۴-۲۳- تغییرات L/δ بر حسب نسبت η برای ایمپاکتور با نسبت فشارهای مختلف.
- شکل ۴-۲۴- توزیع عدد ماخ روی محور ایمپاکتور مافوق صوت درون نازل و در قسمت پایین دست نازل برای نسبت L/D_t های بزرگ در ایمپاکتور با نسبت فشار $P_0/P_b = 400$.

عنوان

صفحة

- شکل ۱۲-۵ - نمودار بازده جذب ذرات بر حسب قطر ذره برای ایمپاکتور با نسبت فشارهای مختلف برای $L/D_t = 2$ ۵۷
- شکل ۱۳-۵ - (الف) قطر جدایش ایمپاکتور با نسبت فشارهای مختلف بر حسب نسبت L/D_t ۵۸
- L/D_t ایمپاکتور با قطر نازلهای مختلف بر حسب قطر جدایش همراه با رابطه تخمین زده شده.
- شکل ۱۴-۵ - توزیع (x/F) بر حسب x برای ایمپاکتور با نسبت فشارها و قطر نازلهای مختلف. ۶۲
- شکل ۱۵-۵ - عدد استوکس St_0 بر حسب ایمپاکتور با نسبت فشارها و قطر نازلهای مختلف بر اساس نتایج عددی همراه با فرمول تقریبی دلامورا و همکاران (۱۹۹۰b) برای ایمپاکتور با نسبت فشارهای مختلف و قطر نازلهای متفاوت. ۶۳
- شکل ۱۶-۵ - کانتورهای فشار کل در ایمپاکتور با اریفیس نازک برای نسبت $L/D_t = 2$ ۶۴
- شکل ۱۷-۵ - کانتورهای عدد ماخ در ایمپاکتور با اریفیس نازک برای نسبت $L/D_t = 2$ ۶۴
- شکل ۱۸-۵ - توزیع عدد ماخ روی محور ایمپاکتور با اریفیس نازک در پایین دست نازل برای L/D_t ۶۴ های کوچک در نسبت فشار ۴۰۰.
- شکل ۱۹-۵ - نمای متقارن محوری خطوط جریان همراه با stagnation bubble در ایمپاکتور با $L/D_t = 20$ و $P_0/P_b = 400$ ۶۵
- شکل ۲۰-۵ - کانتورهای فشار کل برای نسبت $L/D_t = 2$ در ایمپاکتور با : (الف) اریفیس نازک (ب) ۶۶
- نازل استوانه ای با ضخامت برابر با قطر نازل (ج) نازل استوانه ای با ضخامت دو برابر با قطر نازل (د) نازل همگرا با ضخامت برابر با قطر نازل و زاویه همگرایی 10° نازل همگرا با ضخامت برابر با قطر نازل و زاویه همگرایی 45°
- شکل ۲۱-۵ - کانتورهای عدد ماخ برای نسبت $L/D_t = 2$ در ایمپاکتور با : (الف) اریفیس نازک (ب) ۶۷
- نازل استوانه ای با ضخامت برابر با قطر نازل (ج) نازل استوانه ای با ضخامت دو برابر با قطر نازل (د) نازل همگرا با ضخامت برابر با قطر نازل و زاویه همگرایی 10° نازل همگرا با ضخامت برابر با قطر نازل و زاویه همگرایی 45°
- شکل ۲۲-۵ - توزیع عدد ماخ روی محور ایمپاکتور درون نازل و پایین دست نازل برای نسبت $L/D_t = 2$ ۶۸
- در ایمپاکتور با اریفیس نازک، اریفیس ضخیم با ضخامت برابر با قطر نازل، اریفیس ضخیم با ضخامت دو برابر با قطر نازل، نازل مخروطی همگرا با ضخامت برابر با قطر نازل و زاویه همگرایی 10° و نازل مخروطی همگرا با ضخامت برابر با قطر نازل و زاویه همگرایی 45°
- شکل ۲۳-۵ - تغییرات تابع $F(\eta)$ بر حسب η برای ایمپاکتور با نسبت فشار $P_0/P_b = 400$ با اریفیس نازک، نازل استوانه ای با ضخامت برابر با قطر نازل، نازل استوانه ای با ضخامت دو برابر با قطر نازل، نازل همگرا با ضخامت برابر با قطر نازل و زاویه همگرایی 10° و نازل همگرا با ضخامت برابر با قطر نازل و زاویه همگرایی 45°
- شکل ۲۴-۵ - کانتورهای فشار کل برای نسبت $L/D_t = 2$ در ایمپاکتور با : (الف) اریفیس نازک (ب) ۶۹
- نازل لوال مخروطی.
- شکل ۲۵-۵ - کانتورهای عدد ماخ برای نسبت $L/D_t = 2$ در ایمپاکتور با : (الف) اریفیس نازک (ب) ۶۹
- نازل لوال مخروطی.

عنوان

صفحه

- شکل ۲۶-۵- توزیع عدد ماخ روی محور ایمپاکتور درون نازل و در قسمت پایین دست نازل برای نسبت $L/D_t = 2$ در ایمپاکتور با اریفیس نازک و نازل لوال مخروطی ۷۰
- شکل ۲۷-۵- تغییرات تابع $F(\eta) = \frac{\delta}{L}$ بر حسب η روی محور ایمپاکتور در پایین دست نازل برای ایمپاکتور با اریفیس نازک و نازل لوال مخروطی برای نسبت فشار های مختلف. ۷۱
- شکل ۲۸-۵- توزیع عدد ماخ روی محور ایمپاکتور درون نازل و در قسمت پایین دست نازل برای نسبت L/D_t های بزرگ در ایمپاکتور با اریفیس نازک و نازل لوال مخروطی. ۷۲
- شکل ۲۹-۵- نمای مقارن محوری خطوط جریان در ایمپاکتور با نازل لوال با $P_0/P_b = 400$ و $L/D_t = 40$. ۷۲
- شکل ۳۰-۵- کانتورهای فشار کل برای $L/D_t = 2$ در ایمپاکتور با : (الف) اریفیس نازک ب) نازل لوال ایده آل. ۷۳
- شکل ۳۱-۵- کانتورهای عدد ماخ برای $L/D_t = 2$ در ایمپاکتور با : (الف) اریفیس نازک ب) نازل لوال ایده آل. ۷۳
- شکل ۳۲-۵- توزیع عدد ماخ روی محور ایمپاکتور درون نازل و در قسمت پایین دست نازل برای $L/D_t = 3$ در ایمپاکتور با اریفیس نازک و نازل لوال مخروطی. ۷۴
- شکل ۳۳-۵- کانتورهای فشار کل برای نسبت $L/D_t = 2$ در ایمپاکتور با: (الف) اریفیس نازک ب) اریفیس نازک همراه با cap و $D_0/D_t = 5$ و $L_0/D_t = 1/15$ و $D_0/D_t = 1/15$ و $L_0/D_t = 1/15$ و $D_0/D_t = 1/15$ و $L_0/D_t = 1/15$ نازل همراه با cap مخروطی، ۷۵
- شکل ۳۴-۵- توزیع عدد ماخ روی محور ایمپاکتور با اریفیس نازک، اریفیس نازک همراه با cap، $D_0/D_t = 5$ و $L_0/D_t = 1/15$ و $D_0/D_t = 5$ و $L_0/D_t = 1/15$ و $D_0/D_t = 5$ و $L_0/D_t = 1/15$. ۷۶
- شکل ۳۵-۵- توزیع عدد ماخ روی محور ایمپاکتور با ایمپاکتور با اریفیس نازک، اریفیس نازک همراه با cap مخروطی، $D_0/D_t = 2$ و $L_0/D_t = 1/15$ و $D_0/D_t = 2$ و $L_0/D_t = 1/15$ و $D_0/D_t = 2$ و $L_0/D_t = 1/15$. ۷۶
- شکل ۳۶-۵- نمودار بازده جذب ذرات بر حسب قطر ذره برای ایمپاکتور با اریفیس نازک و ایمپاکتور با اریفیس ضخیم برای نسبت L/D_t های مختلف. ۷۸
- شکل ۳۷-۵- مسیر حرکت ذرات در ایمپاکتور با اریفیس ضخیم بر حسب سرعت ذرات. ۷۸
- شکل ۳۸-۵- نمودار بازده جذب ذرات بر حسب قطر ذره برای ایمپاکتور با اریفیس نازک و ایمپاکتور با نازل مخروطی همگرا برای نسبت L/D_t های مختلف. ۷۹
- شکل ۳۹-۵- مسیر حرکت ذرات در ایمپاکتور با نازل مخروطی همگرا بر حسب سرعت ذرات. ۷۹
- شکل ۴۰-۵- نمودار بازده جذب ذرات بر حسب قطر ذره برای ایمپاکتور با اریفیس نازک و ایمپاکتور با نازل لوال مخروطی برای نسبت L/D_t های مختلف. ۸۰
- شکل ۴۱-۵- مسیر حرکت ذرات در ایمپاکتور با نازل لوال مخروطی بر حسب سرعت ذرات. ۸۱
- شکل ۴۲-۵- نمودار بازده جذب ذرات بر حسب قطر ذره برای ایمپاکتور با اریفیس نازک و ایمپاکتور با نازل لوال ایده آل برای نسبت L/D_t های مختلف. ۸۲
- شکل ۴۳-۵- مسیر حرکت ذرات در ایمپاکتور با نازل لوال ایده آل بر حسب سرعت ذرات. ۸۲

عنوان

صفحه

- شکل ۴۴-۵- نمودار بازده جذب ذرات بر حسب قطر ذره برای ایمپاکتور با اریفیس نازک و اریفیس همراه با cap صفحه ای با نسبت $L/D_t = 0.15$ برای نسبت $2 L/D_t = 0.1$ همراه با cap صفحه ای بر حسب سرعت ذرات.
شکل ۴۵-۵- مسیر حرکت ذرات در ایمپاکتور با اریفیس همراه با cap صفحه ای بر حسب سرعت ذرات.
شکل ۴۶-۵- نمودار بازده جذب ذرات بر حسب قطر ذره برای ایمپاکتور با اریفیس نازک و اریفیس همراه با cap صفحه ای برای نسبت $3 L/D_t = 1$ ،
شکل ۴۷-۵- نمودار بازده جذب ذرات بر حسب قطر ذره برای ایمپاکتور با اریفیس نازک و اریفیس همراه با cap صفحه ای برای نسبت $2 D_0/D_t$ های مختلف و $2 L/D_t = 0.1$ ، 0.15 - $D_0/D_t = 2$ ، $L_0/D_t = 0.1$ ،
شکل ۴۸-۵- نمودار بازده جذب ذرات بر حسب قطر ذره برای ایمپاکتور با اریفیس نازک و اریفیس همراه با cap مخروطی برای نسبت های $5 L/D_t = 2$ ،
شکل ۴۹-۵- مسیر حرکت ذرات در ایمپاکتور با اریفیس همراه با cap مخروطی بر حسب سرعت ذرات.
شکل ۵۰-۵- نمودار بازده جذب ذرات بر حسب قطر ذره برای ایمپاکتور با اریفیس نازک و اریفیس همراه با cap مخروطی برای نسبت های $2 L/D_t = 0.1$ و $2 L_0/D_t = 0.1$ و $2 D_0/D_t = 0.1$ ،
شکل ۵۱-۵- نمودار بازده جذب ذرات بر حسب قطر ذره برای ایمپاکتور با اریفیس نازک و اریفیس همراه با cap مخروطی برای نسبت های $2 L/D_t = 0.1$ و $2 L_0/D_t = 0.1$ و $2 D_0/D_t = 0.1$ ،
شکل ۵۲-۵- نمودار بازده جذب ذرات بر حسب قطر ذره برای ایمپاکتور با اریفیس نازک، اریفیس ضخیم، نازل مخروطی همگرا، نازل لاوال مخروطی، نازل لاوال ایده آل و اریفیس همراه با cap صفحه ای برای نسبت $1 L/D_t = 1$ ،
شکل ۵۳-۵- نمودار بازده جذب ذرات بر حسب قطر ذره برای ایمپاکتور با اریفیس نازک، اریفیس ضخیم، نازل مخروطی همگرا، نازل لاوال مخروطی، نازل لاوال ایده آل، اریفیس همراه با cap صفحه ای و اریفیس همراه با cap مخروطی برای نسبت $2 L/D_t = 2$ ،
شکل ۵۴-۵- نمودار بازده جذب ذرات بر حسب قطر ذره برای ایمپاکتور با اریفیس نازک، اریفیس ضخیم، نازل مخروطی همگرا، نازل لاوال مخروطی، نازل لاوال ایده آل، اریفیس همراه با cap صفحه ای و اریفیس همراه با cap مخروطی برای نسبت $3 L/D_t = 3$.

فهرست نشانه های اختصاری

نسبت گرمای ویژه گاز	:	γ
فاصله بین شاک کمانی و صفحه ایمپاکتور	:	δ
گام زمانی	:	Δt
rarefaction پارامتر	:	ζ
زاویه دیواره نازل	:	θ_{wall}
$(L/D_n)/\sqrt{P_0/P_b}$:	η
فاصله آزاد مولکولی گاز	:	λ
لزجت سیال	:	μ
جرم مخصوص سیال	:	ρ
جرم مخصوص ذره	:	ρ_p
زمان پاسخ ذره	:	τ
زمان پاسخ ذره در شرایط منبع	:	$\tau.$
سرعت صوت در گلوگاه نازل	:	C_0
ضریب تصحیح کائینگهام	:	C_c
ضریب گرمای ویژه	:	C_p
قطر مولکول گاز	:	d_m
قطر ذره	:	d_p
قطر جدایی	:	D_{50}
قطر cap	:	D_c
قطر گلوگاه نازل	:	D_t
بازده جذب	:	E
نیروی ترموفورسیس	:	F_{th}
نیروی براونی	:	F_B
نیروی پسا	:	F_D
نیروی برآ	:	F_L
عدد نادسن	:	Kn
فاصله نازل تا صفحه	:	L
فاصله بحرانی نازل تا صفحه	:	L^*
فاصله بین نازل و صفحه cap	:	L_c
عدد ماخ	:	M

فشار سیال	:	P
فشار سکون بالادست نازل	:	P_0
فشار در گلوگاه نازل	:	P_1
فشار در مرکز صفحه ایمپاکتور	:	P_2
فشار پایین دست نازل	:	P_b
عدد رینولدز	:	Re
عدد استوکس در شرایط منبع	:	St_0
عدد استوکس	:	St
عدد استوکس ۵۰ درصد	:	St_{50}
دمای سیال	:	T
پهنهای نازل	:	Th_n
سرعت سیال در جهت محوری	:	u
سرعت نسبی سیال نسبت به ذره	:	U
سرعت حدی گاز در خروجی نازل	:	U_∞
سرعت سیال در جهت شعاعی	:	v
بردار سرعت ذره	:	V_p
فاصله نقطه مورد نظر از خروجی نازل در واحد قطر نازل	:	x
محل شاک از انتهای نازل	:	X_m

فصل اول

مقدمه و مرواری بر پژوهش‌های پیشین

فصل اول

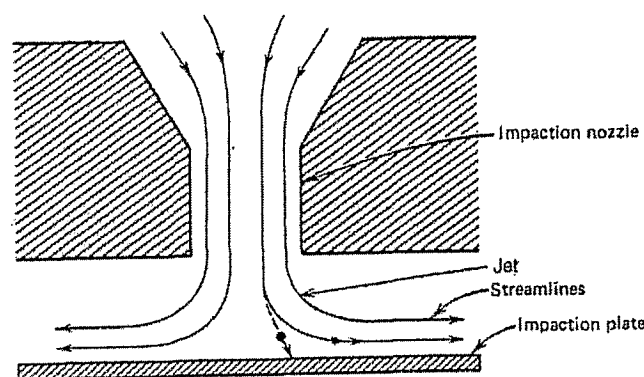
مقدمه و مروری بر پژوهش‌های پیشین

۱-۱ مقدمه

ایمپاکتورهای اینرسی^۱ از رایجترین وسایل نمونه برداری ذرات هستند که برای جداسازی ذرات از جریان هوا به منظور مطالعه غلظت، پراکندگی و آنالیز شیمیایی آنها و همچنین برای طبقه بندی سایزی و اندازه گیری قطر آبرودینامیکی ذرات بکار می‌روند. همانطور که در شکل ۱-۱ نشان داده شده است، اگر یک صفحه مسطح که صفحه ایمپاکتور نامیده می‌شود در مسیر خروجی جریان نازل قرار داده شود، خطوط جریان به طور ناگهانی به اندازه 90° تغییر مسیر می‌دهد ذراتی که اینرسی آنها از یک مقدار مشخص بیشتر است نمی‌توانند همراه خطوط جریان حرکت کرده، به صفحه ایمپاکتور برخورد کرده و جذب صفحه ایمپاکتور می‌شوند. ذرات ریزتر به خاطر برتری نیروی پسا نسبت به نیروی اینرسی همراه خطوط جریان حرکت می‌کنند و قبل از آنکه روی صفحه ایمپاکتور نشست کنند از ایمپاکتور خارج می‌شوند. ایمپاکتورهایی که در نسبتها فشار کوچک کار می‌کنند و جریان خروجی از آنها مادون صوت است برای جداسازی ذرات در سایز میکرو مناسب می‌باشند ولی مومنتوم ذرات در سایز نانو در ایمپاکتورهای عادی بسیار کم می‌باشد لذا در ایمپاکتورها برای افزایش این مومنتوم باید سرعت آنها را به حد زیادی افزایش داد به طوری که جریان خروجی مافوق صوت شود. بنابراین برای جداسازی ذرات ریز در محدوده نانومتر از ایمپاکتورهای مافوق صوت استفاده می‌شود در این ایمپاکتورها فشار گاز بعد از نازل کاهش پیدا می‌کند که منجر به یک جت با سرعت زیاد می‌شود. علاوه بر سرعت زیاد گاز، فشار هم خیلی کم شده و درنتیجه متوسط مسیر آزاد بین مولکولی گاز افزایش پیدا کرده و نیروی پسا ای که به ذرات اثر می‌کند کم می‌شود و ذرات نانو

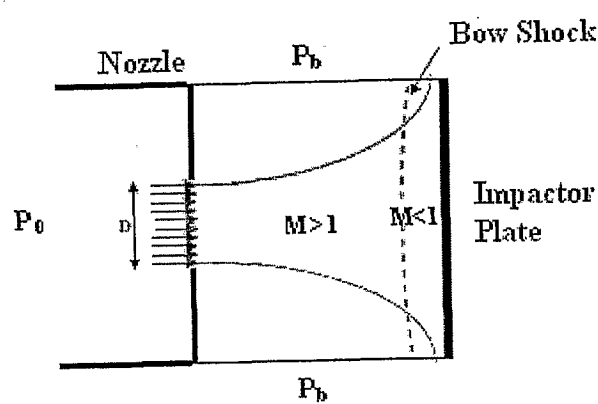
^۱ Inertial impactors

با توجه به افزایش نیروی اینرسی نسبت به نیروی پسا می توانند روی صفحه ایمپاکتور نشست کنند. در این ایمپاکتورها نتیجه مطلوب وقتی بدست می آید که فاصله نازل تا صفحه L نسبت به قطر گلوگاه نازل D_t ، در محدوده $0.8 < L/D_t < 0.13 \sqrt{P_0/P_b}$ باشد (دلا مورا و همکاران ۱۹۹۰ الف)، که در آن P_0 فشار سکون بالادست نازل و P_b فشار پایین دست نازل می باشند.



شکل ۱-۱- نمای عرضی یک ایمپاکتور (هیندز ۱۹۹۹)

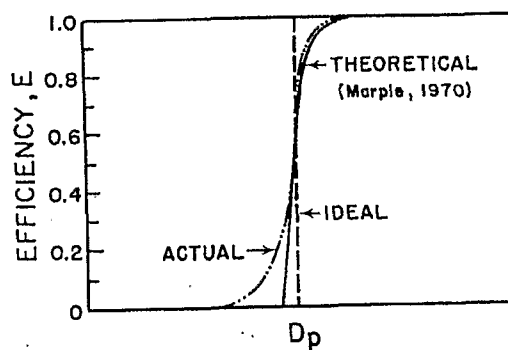
ایمپاکتورهای مافوق صوت شامل یک نازل هستند که جریان خروجی از نازل به محیطی با فشار کم تخلیه شده و یک جت مافوق صوت تشکیل می دهد، برخورد جت مافوق صوت با صفحه ایمپاکتور منجر به تشکیل یک شاک کمانی قوی در جلوی صفحه ایمپاکتور می شود (شکل ۲-۱) که وقتی فاصله صفحه ایمپاکتور از نازل به اندازه کافی زیاد باشد، جریان از رژیم مافوق صوت به رژیم فرا صوتی نیز در می آید.



شکل ۱-۲- شماتیکی از ایمپاکتورهای مافوق صوت

* Back pressure

یک مشخصه مهم ایمپاکتورها، بازده جذب E است که به صورت نسبت ذراتی که روی صفحه ایمپاکتور نشست کرده اند به تعداد کل ذراتی که وارد ایمپاکتور شده اند، تعریف می شود. تعیین بازده جذب به عنوان تابعی از اندازه ذره برای مشخص کردن عملکرد ایمپاکتورهای اینرسی ضروری است. این رابطه به طور ایده آل باید به صورت یک تابع پله ای بین $E = 0$ تا $E = 1$ تغییر کند (شکل ۱-۳). قطر ذره ای که بازده جذب ایمپاکتور از صفر به یک تغییر می کند قطر جدایش^۳ ایمپاکتور نام دارد. عملکرد ایمپاکتور اینرسیال طوری است که ذرات بزرگتر از قطر جدایش جذب ایمپاکتور شده و ذرات کوچکتر از آن از ایمپاکتور خارج می شوند.



شکل ۱-۳- نمودار بازده جذب ایده آل و واقعی یک ایمپاکتور (رایدر و مارپل ۱۹۸۵).

البته در عمل منحنی بازده جذب به صورت S شکل می باشد، بدین خاطر قطر جدایش ایمپاکتور را در محل بازده ۵۰٪ تعریف می کنند.

۲-۱ پژوهش‌های پیشین

مطالعات آزمایشگاهی و محاسباتی زیادی روی ایمپاکتورها، خصوصاً ایمپاکتورهای مافوق صوت صورت گرفته است که در زیر به بعضی از آنها اشاره شده است.

- هرینگ و همکاران در سال ۱۹۷۹ - ۱۹۷۸ اولین بار تئوری ایمپاکتور فشار پایین را در طراحی یک ایمپاکتور زنجیره ای^۴ فشار پایین با دبی ۱ lit/min برای جذب ذرات ریز با منحنی بازده جذب تیز استفاده کردند. آنها یک ایمپاکتور هشت مرحله ای که جریان پس از عبور از اریفیس مرحله چهارم به شرایط صوتی می رسید ارائه دادند. این ایمپاکتور در مراحل بالایی با فشاری در محدوده فشار اتمسفر کار می کرد و پس از عبور از مرحله چهارم فشار آن به 0.5 atm افت پیدا می کرد و در مرحله هشتم

^۴ Cut off size

^۵ Cascade impactor